Pathfinding su giochi grid-based

Lentisco Francesco N86001092

Chapter 1

Introduzione

Un gioco grid-based (o tile-based) è un tipo di videogioco dove l'area di gioco consiste in una matrice di locazioni quadrate dette tiles che simulano una veduta dall'alto di una regione bidimensionale. L'insieme dei tile disponibili è chiamato tileset. In particolare, una mappa consiste in una griglia di larghezza e di altezza fissate ed ogni tile può essere traversabile o bloccato. L'insieme delle possibili locazioni traversabili è rappresentato mediante un grafo indiretto. I tile sono disposti in maniera adiacente l'uno dall'altro nella griglia.

Nel progetto proposto ci si è serviti di mappe *grid-based* generate in modo casuale a seconda della tipologia desiderata.

Ogni tile traversabile della mappa corrisponde ad un nodo nel grafo corrispondente. Un nodo, che corrisponde ad una locazione traversabile è connesso a tutti i nodi associati ai tile adiacenti e traversabili. I pesi degli archi che corrispondono a spostamenti ortogonali hanno costo unitario, gli archi tra due nodi collegati diagonalmente hanno un costo $\sqrt{2}$.

Per riferirsi a un nodo del grafo partendo dalle sue coordinate sulla grigla e viceversa si usano le usuali formule di conversioni: date le coordinate geometriche \mathbf{x} e \mathbf{y} di una locazione, il nodo corrispondente avraà come identificativo

$$nodo = y * MAP_WIDTH + x \tag{1.1}$$

dove $MAP_{-}WIDTH$ si intende la larghezza della mappa. Per riottenere invece le coordinate geometriche di un nodo si utilizzano le seguenti formule:

$$x = nodo\% MAP_WIDTH$$
 (1.2)

$$y = nodo/MAP_{-}WIDTH$$
 (1.3)

Considerando le tipiche mappe dei retro game sono state considerate tre diverse tipologie di generazione che andremo a discutere qui in seugito.

Chapter 2

Algoritmi di pathfinding

Il path-planning è un componente fondamentale della maggior parte dei videogiochi. Gli agent spesso si muovono nell'area di gioco. A volte questo movimento è predeterminato dagli sviluppatori del gioco, come ad esempio il percorso di pattugliamento di un area che una guardia deve seguire. I percorsi predeterminati sono semplici da implementare, ma per loro natura sono facilmente prevedibili. Agent più complessi non sanno in anticipo dove dovranno muoversi. Una unità in un gioco di strategia potrebbe ricevere in tempo reale l'ordine dal giocatore di muoversi in qualsiasi punto sulla mappa, oppure, in un gioco tile-based può succedere che un agent debba inseguire il giocatore nell'area di gioco. Per ognuna di queste situazioni, l'IA deve essere in grado di computare un percorso adeguato attraverso l'area di gioco per arrivare a destinazione, partendo dalla posizione attuale dell'agent. Inoltre vorremmo che il percorso trovato sia il più breve possibile.

La maggior parte dei giochi usa delle soluzioni di pathfinding basate sull'algoritmo chiamato A*. Nonostante sia molto semplice da implementare ed efficiente, A* non opera in genere sulla geometria della mappa di gioco. Esso richiede che tale mappa sia rappresentata in una particolare struttura dati: un grafo pesato e non-negativo. In questo capitolo verranno presentati gli algoritmi realizzati nel progetto, tra cui Dijkstra, A* e diverse sue varianti.

2.1 Dijkstra

Prima di entrare nel vivo degli algoritmi di pathfinding occorre fare alcune precisazioni su cosa si intende per *problema dei cammini minimi*. Nella teoria dei grafi, per shortest-path si intende il cammino minimo tra due

vertici, ossia quel percorso che collega due vertici dati e che minimizza la somma dei costi associati all'attraversamento di ciascun arco. Formalmente,

Sia G = (V, E) un un grafo orientato con funzione di costo $\omega : E \to \mathbb{R}$ che associa ogni arco ad un valore nell'insieme dei reali. Sia $p = \langle v_0, v_1, ..., v_k \rangle$ un cammino che collega il vertice v_1 e al vertice v_k , allora il costo di p è la somma dei pesi degli archi che lo costituiscono:

$$\omega^*(p) = \sum_{i=1}^k \omega(v_{i-1}, v_i)$$

. Dato un cammino p da v_0 a v_k , p è minimo sse non esiste un altro cammino p' da v_0 a v_k tale che $w^*(p') < w^*(p)$.

Esistono dunque due varianti del problema: il problema del cammino minimo tra una coppia di vertici, e il problema dei cammini minimi da un vertice sorgente verso tutti gli altri vertici raggiungibili dalla sorgente. Chiaramente il primo è un sottocaso del secondo.

L'algoritmo di Dijkstra è un algoritmo che risolve il *problema dei cam*mini minimi (o Shortest Paths, SP) in un grafo con o senza ordinamento e con pesi non negativi sugli archi.

Mentre nei videogiochi usualmente si computa il percorso minimo da un punto di partenza a un punto di arrivo, l'algoritmo di Dijkstra è realizzato in modo da trovare il percorso più breve da un punto di partenza verso tutti i restanti punti raggiungibili. La soluzione includerà ovviamente anche l'eventuale punto di arrivo, ma ciò comporterà in ogni caso uno spreco di risorse computazionali se siamo interessati a un solo punto di arrivo. Tuttavia può essere modificato in modo da generare solo il percorso nel quale si è interessati, ma sarà ancora inefficiente come algoritmo di pathfinding.

Dijkstra è un algoritmo iterativo. Ad ogni iterazione, considera un nodo nel grafo ed esamina i suoi archi uscenti (nella prima iterazione considera il nodo di partenza). Ci riferiremo per semplicità al nodo considerato ad ogni iterazione come "nodo corrente". Per ogni arco uscente dal nodo corrente, viene esaminato ogni suo nodo terminale v e si memorizza il costo totale del cammino totale percorso fino ad arrivare ad esso (cost-so-far) e l'arco dal quale si è arrivati ad esso in apposite strutture dati (dist[v] e prev[v] nello pseudocodice). Dopo la prima iterazione, il costo totale del cammino per il nodo terminale di ogni connessione del nodo corrente, è uguale alla somma del costo totale del nodo corrente e del peso della connessione verso il nodo terminale.

L'algoritmo tiene traccia dei nodi da visitare in una coda di priorità. La priorità viene stabilita sulla base del costo totale del cammino associato a

2.2. A*

quel nodo. Nella prima iterazione la coda conterrà solo il nodo di partenza con costo totale uguale a 0. Nelle successive iterazioni l'algoritmo estrae dalla coda il nodo con il minor costo totale. Questo sarà processato come nodo corrente.

Ogni volta che viene esaminato un nodo terminale, l'algoritmo confronta il suo costo totale attuale (all'inizio tutti i nodi vengono inizializzati, assegnandoli un valore di costo di default pari a *infinito*) con quello appena calcolato. Se il costo totale appena calcolato è minore di quello precedentemente assegnato a quel nodo terminale, tale valore viene aggiornato. Ovviamente oltre al valore di costo totale viene aggiornato anche il suo predecessore, che diventerà l'arco che connette il nodo corrente a quello terminale in esame. Quando si verifica questa condizione significa che l'algoritmo ha trovato un percorso migliore verso quel nodo terminale.

L'implementazione canonica di Dijkstra termina quando la coda è vuota, ossia, quando tutti i nodi appartenenti al grafo sono stati visitati e processati. Tuttavia per risolvere un problema di pathfinding, l'algoritmo può terminare prima che tutti i nodi vengano processati, ossia, quando il nodo di arrivo è il nodo con la priorità più bassa nella in coda.

Una volta raggiunto il nodo di arrivo, viene estratto il cammino percorrendo a ritroso tutte le connessioni usate per arrivare a quel nodo fino a raggiungere il nodo di partenza.

Tenendo presente che la coda di priorità è implementata come uno heap di Fibonacci e che la complessità delle operazioni di **extractMin**() e **up-datePriority**() sono rispettivamente $\mathcal{O}(log(n))$ e $\Theta(1)$, la complessità dell'algoritmo nel caso peggiore è di $\mathcal{O}(|E| + |V| \log |V|)$.

2.2 A*

La maggior parte dei sistemi di pathfinding odierni sono basati su questo algoritmo, data la sua efficienza, semplicità di implementazione e ampi margini di ottimizzazione. Diversamente dall'algoritmo di Dijkstra, A* è pensato per la ricerca del percorso minimo point-to-point.

Il funzionamento dell'algoritmo è molto simile a quello di Dijkstra. A differenza di quest'ultimo, che sceglie sempre prima il nodo con il minor costso-far, A* sceglierà il nodo candidato che più probabilmente porterà al percorso più breve. Per far ciò, A* utilizza delle funzioni euristiche. Maggiore sarà l'accuratezza della funzione euristica utilizzata, tanto più l'algoritmo sarà efficiente.

Algorithm 1: Dijkstra Shortest Path

```
1 Function DijkstraShortestPath(G, s)
         /* array per tenere traccia del costo totale del
             percorso fino a quel nodo
                                                                                             */
        dist[source] \leftarrow 0;
 2
         /* coda di priorità
                                                                                             */
        Q \leftarrow -\emptyset;
 3
        \mathbf{foreach}\ v \in \mathit{Graph}. \textit{vertexSet}()\ \mathbf{do}
 4
             if v \neq source then
 5
                  dist[v] \longleftarrow \infty;
 6
 7
                 prev[v] \longleftarrow \emptyset;
             \mathbf{end}
 8
             Q.add(v, dist[v]);
 9
        \mathbf{end}
10
        while !Q.isEmpty() do
11
             u \longleftarrow Q.\mathbf{extractMin}();
12
             for each neighbor v of u do
13
                  alt \leftarrow dist[u] + \mathbf{lenght}(u, v);
14
                  if alt < dist/v then
15
                      dist[v] \longleftarrow alt;
16
                      prev[v] \longleftarrow u;
17
                      Q.updatePriority(v, alt);
18
                  \mathbf{end}
19
             end
\mathbf{20}
21
        \mathbf{end}
```

2.2. A*

A* funziona iterativamente: in ogni iterazione considera un nodo del grafo ed esamina i suoi archi uscenti. Il nodo corrente viene scelto usando un criterio di selezione simile a quello di Dijkstra, ma con la significativa differenza dell'euristica.

Come Dijkstra, per ogni arco uscente dal nodo corrente, A^* esamina il suo nodo terminale x e memorizza il costo totale del cammino percorso fino ad arrivare ad uno di essi (cost-so-far) e l'arco dal quale si è arrivati. Inoltre A^* memorizza un valore in più, ovvero, una stima del costo totale f(x) del percorso dal nodo di partenza al nodo di arrivo attraverso x. Questa stima è data dalla somma di due valori: il costo totale reale dal nodo sorgente fino al nodo x (cost-so-far) al quale ci riferiremo come g(x) e la distanza (euristica) dal nodo x fino al nodo di arrivo a cui ci riferiremo come h(x).

Pertanto f(x) = g(x) + h(x). Come vedremo, f(x) fornisce la chiave dell'ordinamento della coda di priorità dell'algoritmo.

A* tiene traccia dei nodi scoperti ma ancora da processare in una coda, a cui ci riferiremo come *Open*, e dei nodi già processati in una lista *Closed*. I nodi saranno inseriti nella coda *Open* appena saranno scoperti lungo gli archi uscenti dal nodo corrente. Essi verranno successivamente trasferiti nella lista *Closed* una volta che diventeranno essi stessi nodo corrente.

Diversamente da Dijkstra, viene estratto dalla coda Open il nodo con il minor valore f(x). In tal modo si processeranno per primi i nodi più promettenti.

Potrebbe accadere che si arrivi ad esaminare un nodo appartenente alla coda Open o alla lista Closed e si debbano modificare i suoi valori di costo. In questo caso ricalcoleremo il valore di g(x) come al solito e se esso è minore di quello già memorizzato, allora verrà aggiornato.

Diversamente da Dijkstra, A^* può trovare cammini migliori per nodi che sono già stati processati, e che quindi si trovano nella lista Closed. In particolare, nel caso in cui durante una ricerca si incontra un nodo x appartenente alla lista Closed si valuta se il valore g(x) è maggiore del costo del percorso appena scoperto vuol dire che abbiamo scoperto un percorso migliore, e dovremmo aggiornare il predecessore di x e il valore g(x). Tuttavia quando un nodo viene messo nella lista Closed, vuol dire che tutti i suoi archi uscenti sono stati processati. Pertanto aggiornare i valori del nodo x non sarà sufficiente, giacchè la modifica deve essere propagata lungo tutte le sue connessioni uscenti.

Esiste un approccio molto semplice per ricalcolare e propagare i valori aggiornati di un nodo appartenente alla lista *Closed*, ossia estrarlo dalla lista *Closed* e inserirlo nuovamente nella coda *Open* con i suoi valori aggiornati. Esso stazionerà nella coda finchè non verrà estratto e processato nuovamente.

In tal modo le sue connessioni potranno a loro volta aggiornate nuovamente.

In molte implementazioni dell'algoritmo, A* viene fatto terminare quando il nodo di arrivo è il nodo con la minima priorità nella coda *Open*. Tuttavia come abbiamo visto, un nodo con il minor costo potrebbe essere rivisitato in un secondo momento. Non possiamo più garantire pertanto che il nodo minimo nella coda *Open* sia quello che porti ad un cammino minimo. Di qui, la maggior parte delle implementazioni di A* possono produrre risultati non ottimali.

Altre implementazioni terminano non appena il nodo di arrivo viene visitato non aspettando che esso diventi il più piccolo nodo nella coda *Open*. In ogni caso si ammette che il risultato finale potrebbe essere non ottimale, pertanto sarà a discrezione dello sviluppatore scegliere quale approccio di terminazione adottare.

Esattamente come per Dijkstra, si recupera il cammino compiuto percorrendo ricorsivamente tutte le connessioni accumulate dal nodo di arrivo fino a quello di partenza.

Generalmente la parte euristica dell'algoritmo viene implementata come una funzione. Di seguito riporteremo alcune delle più comuni funzioni euristiche. Siano u e v due nodi con coordinate rispettivamente di (x_1, y_1) e (x_2, y_2)

- Manhattan distance: $H(u, v) = |x_1 x_2| + |y_1 y_2|$
- Euclidean distance: $H(u, v) = \sqrt{(x_1 x_2)^2 + (y_1 y_2)^2}$
- Chebyshev distance: $H(u, v) = max\{|x_1 x_2|, |y_1 y_2|\}$
- Octile distance : $H(u, v) = \sqrt{2} * min\{|x_1 x_2|, |y_1 y_2|\} + ||x_1 x_2| |y_1 y_2||$

Se la griglia permette movimenti in quattro direzioni (4-neighborhood), allora è opportuno scegliere la distanza di Manhattan, altrimenti se permette movimenti in otto direzioni (8-neighborhood), la octile distance è preferibile. Quest'ultima può essere considerata come una variante della distanza di Chebyshev, tenendo conto che il costo di uno spostamento diagonale è uguale a $\sqrt{2}$. Tutte le funzioni euristiche proposte sono consistenti. Da notare che una funzione euristica h() si definisce consistente (o monotona) sse per ogni nodo n del grafo e ogni successore n' di n, il costo stimato h(n) per raggiungere l'obiettivo è uguale, o inferiore, al peso dell'arco da n a n' sommato al costo stimato h(n'). Formalmente, dato un grafo G = (V, E) e una funzione euristica h(), allora h() si dirà consistente solo se per ogni

2.2. A*

Algorithm 2: A* Shortest Path

```
1 Function AStarShortestPath(Graph, source, target)
 \mathbf{2}
         \mathbf{g}(source) \longleftarrow 0;
         parent(source) \leftarrow source;
 3
         Open \longleftarrow \emptyset;
 4
         Closed \longleftarrow \emptyset;
 5
         Open.Insert(source, \mathbf{g}(source) + \mathbf{h}(source));
 6
         while !Open.isEmpty() do
 7
             u \leftarrow Open.\mathbf{extractMin}();
 8
             if u = target then
 9
                 return "path found"
10
             end
11
              Closed.add(u);
             for each neighbor v of u do
13
                  if v \notin Closed then
14
                       if v \notin Open then
15
                            \mathbf{g}(v) \longleftarrow \infty;
16
                           \mathbf{parent}(v) \longleftarrow \emptyset;
17
                       end
18
                       UpdateVertex(u, v);
19
                  \mathbf{end}
\mathbf{20}
21
             end
         \mathbf{end}
22
         return "no path found"
23
24 Function UpdateVertex(u, v)
         g_{old} \longleftarrow g(v);
25
         ComputeCost(u, v);
\mathbf{26}
        if g(v) < g_{old} then
27
             if v \in Open then
28
               Open.\mathbf{Remove}(v);
29
30
              end
              Open.Insert(v, \mathbf{g}(v) + \mathbf{h}(v));
31
         end
32
33 Function Compute Cost(u, v)
        if g(u) + c(u, v) < g(v) then
34
             \mathbf{g}(v) \longleftarrow \mathbf{g}(u) + \mathbf{c}(u,v);
35
             \mathbf{parent}(v) \longleftarrow u;
36
         end
37
```

nodo $n \in V$ e ogni successore n' di n vale la seguente condizione:

$$h(n) \le h(n') + c(n, n')$$

Quindi h() è consistente nel caso in cui soddisfa dal punto di vista geometrico la proprietà della diseguaglianza triangolare, la quale afferma che in un triangolo ogni singolo lato non può essere superiore alla somma degli altri duo

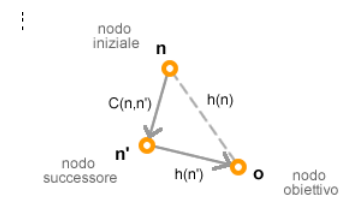


Figure 2.1: diseguaglianza triangolare

Una funzione euristica si dice ammissibile sse non sopravvaluta mai il costo minimo effettivo verso il nodo di arrivo. Una funzione euristica consistente è sempre anche ammissibile (non è sempre vero il contrario). Formalmente, h() si definisce ammissibile sse $h(v) \leq h^*(v)$, dove $h^*()$ è una funzione euristica ideale che restituisce sempre il costo esatto del percorso ottimo per raggiungere il nodo di arrivo.

2.3 Theta*

Uno dei problemi centrali che concernono le Intelligenze Artificiali nei videogiochi è trovare percorsi minimi e allo stesso tempo che sembrino realistici. Il
path-planning si divide generalmente i due parti: (i) discretizzazione, ossia,
semplificare un ambiente continuo in forma di grafo e (ii) ricerca, attraverso
la quale si vengono propagate le informazioni lungo il grafo per trovare un
percorso da una locazione di partenza a un punto di arrivo. Per quanto
riguarda la discretizzazione, è importante notare che esistono diversi approcci oltre alle regolari griglie bidimensionali, come ad esempio le mesh di
navigazione (nav-mesh), grafi di visibilità e waypoints.

In ogni caso A* è quasi sempre il metodo di ricerca scelto a causa della sua semplicità e delle sue garanzie di trovare un percorso ottimo. Il problema con A* è che il percorso migliore sul grafo spesso non è equivalente al percorso migliore in un ambiente continuo. A* propaga le informazioni strettamente attraverso le connessioni del grafo e vincola i percorsi ad essere composti

2.3. THETA* 13

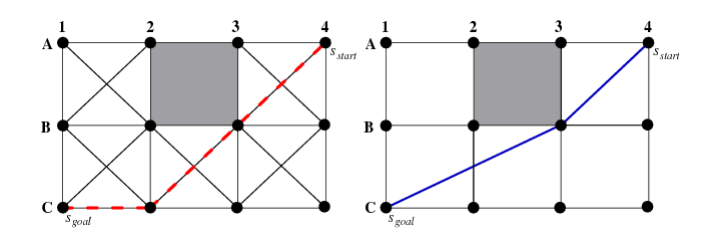


Figure 2.2: Square Grid: A^* vs. Theta*

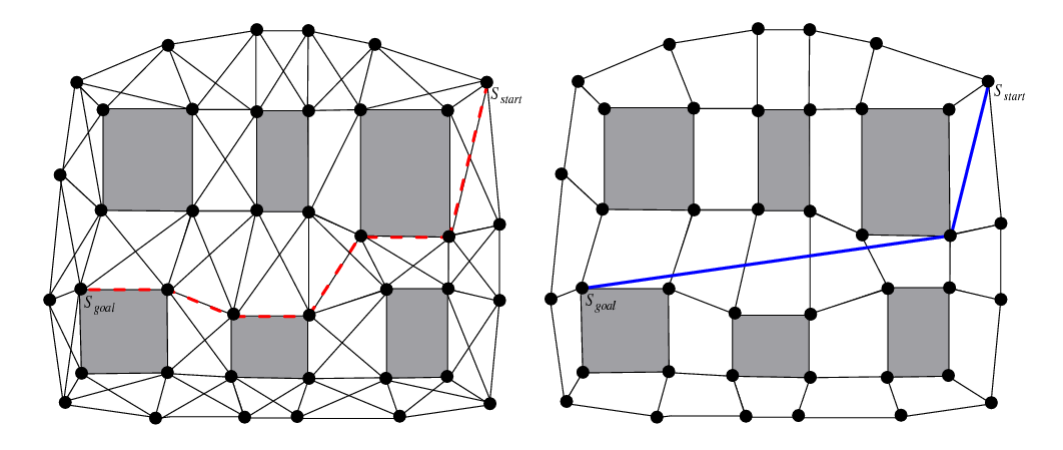


Figure 2.3: Navmesh: A^* vs Theta*

da tali connessioni. Nelle figure 2.2 e 2.3, un ambiente continuo è stato discretizzato rispettivamente in una griglia quadrata e in una navmesh. Il percorso minimo, sia nella griglia che nella mesh di navigazione (Figure 2.2 e 2.3, sinistra) è molto più lunga e non-realistica rispetto al percorso minimo nell'ambiente continuo (Figure 2.1 e 2.2, destra)

La soluzione tipica a questo problema è di applicare una funzione di path-smoothing sui percorsi trovati dall'algoritmo. Tuttavia scegliere una buona tecnica di path-smoothing che ritorni un percorso che sembri realistico efficientemente può presentare alcune difficoltà. Uno dei principali motivi è che una ricerca di A^* (con alcuni tipi di euristiche), garantisce di trovare solo una dei diversi cammini minimi, alcuni dei quali possono essere raffinati dalla funzione di path-smothing in modo più efficiente di altri. Ad esempio A^* usato con un tipo di euristica octile è molto efficace sulle griglie che permettono movimenti diagonali, ma allo stesso tempo calcola percorsi non-realistici e molto difficili da raffinare perchè tutti i movimenti diagonali appaiono prima di tutti i movimenti lineari che compongono il percorso, come mostrato nella figura 2.4 dalla linea rossa discontinua.

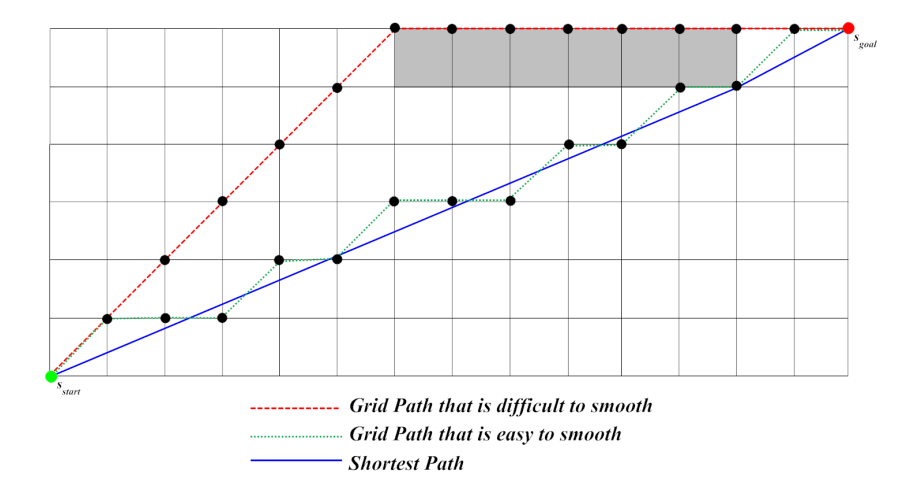


Figure 2.4: Percorso trovato da A* con differenti tecniche di path-smothing

L'algoritmo Theta* risolve queste problematiche. Essendo una variante di A*, similmente propaga le informazioni lungo gli archi del grafo ma senza vincolare i percorsi trovati ad essi (i percorsi con questa caratteristica soo detti "any-angle"). Similmente ad A*, Theta* è di facile implementazione ed efficiente (ha un runtime simile ad A*) ed inoltre calcola percorsi più "realistici", senza il bisogno di alcun processo postumo di path-smoothing.

2.3. THETA*

Theta* combina due importanti proprietà che concernono il path-planning:

- Grafi di Visibilità: contengono il nodo di partenza, il nodo di arrivo, e gli spigoli di tutte le celle bloccate. Un nodo è connesso in linea retta ad un altro nodo se e solo se sono in linea di visibilità (line-of-sight) l'uno con l'altro, ossia, se non c'è alcuna cella bloccata lungo la linea retta che congiunge i due nodi. I cammini minimi sui grafi di visibilità sono tali anche in un ambiente continuo, ma purtroppo il path-finding su di essi è inefficiente perchè il numero di archi può essere quadratico rispetto il numero di celle.
- **Griglie**: il path-finding su di esse è più veloce rispetto i grafi di visibilità perchè il numero di archi è lineare sul numero di celle. Tuttavia i percorsi basate sugli archi delle griglie possono essere non-ottimali e dall'aspetto non-realistico.

Algorithm 3: Theta* Shortest Path

```
33 Function Compute Cost(u, v)
         if LineOfSight(parent(u), v) then
34
              if g(parent(u)) + c(parent(u), v) < g(v) then
35
                  parent(v) \longleftarrow parent(u);
36
                  g(v) \longleftarrow \mathbf{g}(\mathbf{parent}(u)) + \mathbf{c}(\mathbf{parent}(u), v);
37
              end
38
         end
39
         else
40
              if g(u) + c(u, v) < g(v) then
41
                  \mathbf{g}(v) \longleftarrow \mathbf{g}(u) + \mathbf{c}(u,v);
42
                   \mathbf{parent}(v) \longleftarrow u;
43
              end
44
         \mathbf{end}
45
```

La differenza principale tra Theta* e A* è che Theta* permette che il predecessore di un nodo sia un qualsiasi nodo, diversamente da A* che vincola il predecessore ad essere strettamente un nodo adiacente. La procedura principale e $Update\ Vertex()$ sono del tutto simili ad A*, pertanto sono state omesse. Theta* è del tutto identico ad A* salvo per la procedure Compute-Cost(), che aggiorna il valore g() e il predecessore parent() di un nodo non ancora espanso seguendo due possibili path:

- Path 1: per permettere percorsi any-angle, Theta* considera il percorso dal nodo di partenza al predecessore del nodo u (parent(u)) [= g(parent(u))] e dal predecessore del nodo u al nodo v in linea retta [= c(parent(u), v)] se e solo se i nodi v e parent(u) sono in linea di visibilità (Linea 34). Il principio che c'è dietro questa considerazione è che il Path 1 non è più lungo del Path 2 per la disuguaglianza triangolare se il nodo v è in linea di visibilità con parent(u).
- Path 2: come visto in A*, Theta* considera il percorso dal nodo di partenza al nodo u = g(u) e dal nodo u in linea retta = c(u,v) ad un nodo adiacente v, risultante in un percorso di lunghezza = g(u) + c(u,v) (Linea 41)

I controlli della linee di visibilità possono essere effettuati in modo efficiente con operazioni aritmetiche di soli interi su griglie quadrate. L'algoritmo usato esegue questi controlli con un metodo standard di *line-drawing* molto comune nelle applicazioni di *computer grafica*.

2.4 Bidirectional A*

L'algoritmo A*, applicato in modo unidirezionale, può effettuare una ricerca in due possibili direzioni opposte:

- Forward: A* effettua una ricerca dall'agent al target assegnando i loro nodi attuali rispettivamente al nodo di partenza e al nodo di arrivo. Ci si riferisce a questo approccio come Forward A*.
- Backward: A* effettua una ricerca dal target all'agent assegnando i loro nodi attuali rispettivamente al nodo di partenza e al nodo di arrivo. Ci si riferisce a questo approccio come Backward A*.

L'idea del bidirectional search può dimezzare il tempo di ricerca di un algoritmo effettuando una ricerca in forward e una in backward simultane-amente. Quando le due frontiere di ricerca si intersecano, l'algoritmo può ricostruire il percorso seguito che va dal nodo di partenza, passando per il "nodo frontiera", al nodo di arrivo. Tuttavia per garantire miglioramenti sostanziali della ricerca occorre che le due ricerche opposte si incontrino a metà strada.

Per dare l'idea generale dell'algoritmo proposto lo scomporremo nel seguente set di passi. Siano $Open_f$ e $Open_b$ rispettivamente le code di priorità delle due ricerche in forward e backward e $Closed_f$ e $Closed_b$ i loro set Closed, ed

Algorithm 4: Line of Sight pt. 1

```
1 Function Line Of Sight(u, v)
         x_1 \leftarrow u.getX();
 2
         y_1 \leftarrow u.getY();
 3
         x_2 \leftarrow v.getX();
 4
         y_2 \leftarrow v.getY();
 5
         dx \leftarrow x_2 - x_1;
 6
         dy \leftarrow y_2 - y_1;
 7
         f \leftarrow 0;
 8
         signX \leftarrow 1;
 9
         signY \leftarrow 1;
10
         x_{offset} \leftarrow 0;
11
12
         y_{offset} \leftarrow 0;
         if dy < 0 then
13
              dy \leftarrow (-1) * dy;
14
              signY \leftarrow -1;
15
              y_{offset} \leftarrow -1;
16
         end
17
         if dx < 0 then
18
              dx \leftarrow (-1) * dx;
19
              signX \leftarrow -1;
\mathbf{20}
              x_{offset} \leftarrow -1;
\mathbf{21}
         \mathbf{end}
22
         if dx >= dy then
23
              while x_1 \neq x_2 do
\mathbf{24}
                   f \leftarrow f + dy;
25
                   if f \geq dx then
26
                        if blocked(x_1 + x_{offset}, y_1 + y_{offset}) then
27
                            return false
28
                        end
29
                        y_1 \leftarrow y_1 + signY;
30
                        f \leftarrow f - dx;
31
                   end
32
                   if f \neq 0 \land blocked(x_1 + x_{offset}, y_1 + y_{offset}) then
33
                    return false
34
                   end
35
                   if dy = 0 \wedge blocked(x_1 + x_{offset}, y_1) \wedge
36
                    blocked(x_1 + x_{offset}, y_1 - 1) then
                       return false
37
                   \mathbf{end}
38
                   x_1 \leftarrow x_1 + signX;
39
              end
40
         \mathbf{end}
41
```

Algorithm 5: Line of Sight pt.2

```
42
         else
43
             while y_1 \neq y_2 do
44
                  f \leftarrow f + dx;
45
                  if f \geq dy then
46
                       if blocked(x_1 + x_{offset}, y_1 + y_{offset}) then
47
                       return false
48
                       \mathbf{end}
49
                       x_1 \leftarrow x_1 + signx;
50
                       f \leftarrow f - dy;
51
                  \mathbf{end}
\mathbf{52}
                  if f \neq 0 \land blocked(x_1 + x_{offset}, y_1 + y_{offset}) then
53
                     {f return}\ false
\mathbf{54}
                  \mathbf{end}
55
                  if dy = 0 \wedge blocked(x_1, y_1 + y_{offset}) \wedge blocked(x_1 - 1,
56
                   y_1 + y_{offset}) then
                     {f return}\ false
57
                  end
58
                  y_1 \leftarrow x_1 + signY;
59
             \mathbf{end}
60
         end
61
         \mathbf{return}\ true
62
63 end
```

inoltre, sia α_{min} la lunghezza del percorso minimo dal nodo di partenza al nodo di arrivo (inizialmente inizializzato ad infinito):

- 1. Inizializza i nodi di start e di goal. Inserisci il nodo start e il nodo goal rispettivamente in $Open_f$ e in $Open_b$.
- 2. Decidi se effettuare una ricerca in forward (vai a step 3) o in backward (vai a step 4)
- 3. Espandi il fronte forward con Forward-A* e vai allo step 5.
- 4. Espandi il fronte backward con Backward- A^* e vai allo step 5.
- 5. se si è scoperto un nodo n tale che $n \in Closed_f \cap Closed_b$, verrà eseguito il seguente assegnamento: $\alpha_{min} = min(\alpha_{min}, g_f(n) + g_b(n))$. Qui, se $\alpha_{min} \leq max(f_{f_{min}}, f_{b_{min}})$ allora l'algoritmo termina e il percorso con lunghezza α_{min} sarà restituito. Altrimenti torna allo step 2.

I punti critici di questo algoritmo si possono riassumere in (i) scelta tra le due ricerche e (ii) terminazione, di cui abbiamo già parlato nel passo 5. Per quanto riguarda invece il primo punto, si intende il criterio di scelta tra ricerca in *forward* o in *backward*. È importante notare che la strategia di scelta tra le due ricerche non influisce sulla correttezza dell'algoritmo quanto piuttosto sull'efficienza. Alcuni esempi di strategia di scelta possono essere:

- alternare una ricerca in *forward* e una in *backward* per ogni iterazione (procedura di Dantzig).
- siano $f_{f_{min}}$ e $f_{b_{min}}$ i valori f minimi nelle code $Open_f$ e $Open_b$, se $f_{f_{min}} < f_{b_{min}}$ allora espandi la frontiera in forward, altrimenti espandi la frontiera in backward (approccio di Nicholson).
- se $|Open_f| < |Open_b|$ allora espandi la frontiera in forward, altrimenti espandi la frontiera in backward (approccio cardinality comparsion).

L'ultima di queste strategie è stata riconosciuta in uno studio pubblicato nel 1969 come la più ragionevole poiche la cardinalità dei set Open riflettono un indice di densità delle frontiere forward e backward e pertanto ci si è attenuti a questa nell'implementazione.

¹Bi-directional and heuristic search in path problems, Ira Pohl, STANFORD LINEAR ACCELERATOR CENTER Stanford University Stanford, California, 94305

2.5 Adaptive A*

Nel contesto di un videgioco, gli agent devono spesso risolvere dei problemi di ricerca simili tra loro. Adaptive A* è un recente algoritmo in grado di risolvere una serie di problemi di ricerca di natura simile tra loro più velocemente di A* perchè in grado di aggiornare i valori h utilizzando informazioni raccolte in ricerche precedenti. Questo algoritmo rende i valori h()consistenti in valori h() più accurati, conservando la loro consistenza. Ciò permette di calcolare percorsi minimi in un ambiente dove il costo di uno spostamento può essere incrementato visto che valori h consistenti rimangono tali dopo un incremento di costo. Tuttavia non è garantito che trovi il percorso minimo nel caso in cui ci si trovi in un ambiente dove il costo di uno spostamento (ossia, il peso di un arco) può diminuire, perchè i valori euristici consistenti non necessariamente rimangono tali dopo un decremento di costo. Pertanto i valori h devono essere aggiornati dopo un decremento di costo. Inoltre fino ad adesso si è considerato il problema della ricerca del percorso minimo dando per scontato che il target sia stazionario. Tuttavia ciò non è sempre vero in un contesto di videogiochi, dove spesso il target è a sua volta un agent e può dunque muoversi verso un altro target. Al fine di risolvere queste problematica, si è preferito implementare una versione di Adaptive A* che preveda che il target non sia stazionario: Lazy Moving Target Adaptive A^* (LMTAA*2).

Adaptive A* è un algoritmo di ricerca incrementale, dove per incrementale si intende appunto la caratteristica di riusare informazioni raccolte durante le precedenti ricerche. Quando queste informazioni sono appunto i valori euristici calcolati dalle precedenti ricerche, allora si può definire l'algoritmo in questione come heuristic learning incremental search. Tuttavia AA* non può essere applicato in situazioni dove il target di ricerca può spostarsi. Questo perchè i valori euristici calcolati in ricerche precedenti allo spostamento del target risulterebbero incoerenti con la sua nuova posizione e si violerebbe la proprietà della disuguaglianza triangolare, che è una condizione necessaria affinchè una funzione euristica sia consistente.

Come già detto, Lazy Moving Target Adaptive A^* è una estensione di AA^* che risolve la problematica del target non stazionario, mantenendo consistenti i valori euristici durante le sue ricerche. Tuttavia, nè AA^* nè $MTAA^*$ garantiscono di conservare la consistenza dei valori euristici h in caso di un decremento del costo di uno spostamento.

Si noti che, per semplcità nella descrizione dell'algoritmo, si è preferito

²Incremental Search-Based Path Planning for Moving Target Search, Xiaoxun Sun

Algorithm 6: Lazy Moving Target Adaptive A*

```
1 Function CalculateKey(s)
       return g(s) + h(s);
 3 Function InitializeState(s)
       if search(s) = 0 then
 4
           g(s) \longleftarrow \infty;
 5
           h(s) \longleftarrow H(s, s_{qoal});
 6
       end
 7
       else if search(s) \neq counter then
 8
           if g(s) + h(s) < pathcost(search(s)) then
             h(s) \leftarrow -pathcost(search(s)) - g(s);
10
           end
11
           h(s) \longleftarrow h(s) - (deltah(counter) - deltah(search(s)));
12
           h(s) \longleftarrow MAX(h(s), H(s, s_{qoal});
13
           g(s) \longleftarrow \infty;
14
       end
15
       search(s) \leftarrow counter;
16
17 Function UpdateState(s)
       if s \in Open then
18
           Open.DecreasePriority(s, CalculateKey(s));
19
       end
\mathbf{20}
       else
\mathbf{21}
           Open.Insert(s, CalculateKey(s));
22
23
       end
24 Function Compute Path()
       while Open.Min() < CalculateKey(s_{goal}) do
           u \leftarrow Open.\mathbf{extractMin}();
26
           foreach neighbor v of u do
27
               InitializeState(v);
28
               if g(v) > g(u) + c(u, v) then
29
                   g(v) \longleftarrow g(u) + c(u, v);
30
                   parent(v) \leftarrow -u;
31
                    UpdateState(v);
32
               \mathbf{end}
33
           \mathbf{end}
34
       end
35
       if Open = \emptyset then
36
           return false
37
       end
38
39
       return true
```

```
40
41
        Function Main()
             counter \longleftarrow 0;
42
            s_{start} \leftarrow current \ node \ of \ the \ agent;
43
             s_{goal} \leftarrow current \ node \ of \ the \ target;
44
             deltah(1) \longleftarrow 0;
\mathbf{45}
            forall s \in G.vertexSet() do
46
                search(s) \longleftarrow 0;
47
             end
48
        while s_{start} \neq s_{goal} do
49
            counter \leftarrow counter + 1;
\mathbf{50}
            InitializeState(s_{start});
51
             InitializeState(s_{qoal});
\bf 52
            g(s_{start}) \longleftarrow 0;
53
            Open \longleftarrow \emptyset;
54
             Open.Insert(s_{start}, CalculateKey(s_{start}));
55
            if ComputePath() = false then
56
                 return false/* target out of reach
                                                                                         */
57
             end
\mathbf{58}
            pathcost(counter) \longleftarrow g(s_{qoal});
59
             while target not caught AND action costs on path do not
60
              increase AND target on path from s_{start} to s_{goal} do
61
                 agent follows path from s_{start} to s_{qoal};
            end
62
            if agent caught target then
63
                 return true
64
             end
65
             s_{start} \leftarrow current \ node \ of \ the \ agent;
66
             s_{newgoal} \longleftarrow current \ node \ of \ the \ target;
67
            if s_{start} \neq s_{newgoal} then
68
                 InitializeState(s_{newgoal});
69
                 if g(s_{newgoal}) + h(s_{newgoal}) < pathcost(counter) then
70
                     h(s_{newqoal}) \leftarrow -pathcost(counter) - g(s_{newqoal});
71
                 end
72
                 deltah(counter + 1) \leftarrow deltah(counter) + h(s_{newgoal});
73
                 s_{goal} \leftarrow s_{newgoal};
74
            end
75
76
             else
                 deltah(counter + 1) \longleftarrow deltah(counter);
77
             end
78
             update the increased
79
            action cost (if any)
80
        end
81
82
        return true
83 end
```

modellare il problema in modo che l'agent e il target si muovano a turno di un passo alla volta invece che farli muoversi simultaneamente. La parte centrale dell'algoritmo è come al solito la procedura ComputePath(). Il cambiamento principale rispetto gli algoritmi visti fin'ora è che le ricerche possono essere effettuate in un ciclo iterativo per poter trovare ripetutamente nuovi cammini minimi dal nodo dell'agent al nodo del target. Dopo una ricerca, se viene trovato un percorso, l'agent si muove lungo di esso finchè il target non viene raggiunto, oppure nel caso in cui il target non si trovi più lungo il percorso, o ancora, finchè non avviene un cambiamento di costo per uno spostamento dell'agent. E stata inoltre introdotta una variabile counter, che indica quante ricerche sono state effettuate (inclusa la ricerca corrente). Si usa inoltre il $mapping\ search(s)$ per indicare se i valori g(s) e h(s) di un nodo s sono stati inizializzati nella counter-esima ricerca. Inizialmente, per tutti i nodi s, si ha che $search(s) = \theta$. Ciò significa che nessuno dei nodi è stato ancora inizializzato. In seguito l'algoritmo inizializza i nodi e inserisce il primo nella coda *Open*.

Viene dunque eseguita la procedura InitializeState(s) sui nodi s_{start} e s_{goal} , che vengono inizializzati prima di ogni ricerca s_{start} e s_{goal} (linee 51 e 52). La stessa procedura viene chiamata ogni volta che occorrono i valori g(s) e h(s) di un nodo s (linea 28). Durante la counter-esima ricerca (la ricerca corrente), nella procedura InitializeState(s), se h(s) non è stata ancora inizializzato in nessuna ricerca precedente (search(s) = 0), la procedura inizializza h(s) con l'euristica fornita dall'utente (linea 6). Altrimenti, nel caso in cui $search(s) \neq counter$, ossia, se h(s) non è stata calcolata nella ricerca corrente, l'algoritmo controlla se il nodo s è stato espanso durante la search(s)-esima ricerca, dove è stata calcolato il valore h(s): se g(s) + h(s) < pathcost(search(s)) (linea 9) allora il valore f(s) (= g(s) + h(s)) è inferiore del valore $g(s_{goal})$ durante la search(s)-esima ricerca (linea 59).

Visto che il valore g() del nodo s_{goal} è sempre uguale al valore f() del nodo s_{goal} (solo con euristiche consistenti), il valore f() di un nodo s è inferiore del valore f() del nodo s_{goal} durante la ricerca search(s). Pertanto, il nodo s deve essere stato espanso durante la ricerca search(s). L'algoritmo pertanto aggiorna il valore h(s) a pathcost(search(s)) - g(s) (linea 10). L'algoritmo corregge infine il valore h(s) secondo il nodo s_{goal} corrente nel caso il target si sia spostato dall'ultima volta che il nodo s è stato inizializzato dalla procedura InitializeState(s) (linee 12 e 13).

Spiegherò di seguito nel dettaglio come Lazy MT-Adaptive A^* corregge il valore h(s): dopo ogni ricerca, se il target si è mosso e quindi il nodo s_{goal} non è più lo stesso, la correzione per il nodo di arrivo della ricerca corrente

diminuisce i valori h di tutti i nodi del valore h() del nodo di arrivo della ricerca corrente. Tale nuovo valore h() viene prima calcolato (linee 69-71) e in seguito aggiunto alla somma corrente di tutte le correzioni (linea 73). Nello specifico, il valore di deltah(x) durante la x-esima ricerca è uguale alla somma corrente di tutte le correzioni fino all'inizio della x-esima ricerca. Pertanto se h(s) è stato inizializzato in una ricerca precedente ma non in quella corrente ($search(s) \neq counter$), allora la procedura InitializeState(s) corregge il valore h(s) con la somma di tutte le correzioni delle ricerche tra le quali il nodo s è stato inizializzato e la ricerca corrente, che è uguale alla differenza tra i valori deltah() durante la ricerca corrente (deltah(counter)) e durante la ricerca search(s) (deltah(search(s))). In sintesi, il fattore di correzione è uguale a deltah(counter) - deltah(search(s)) (linea 12). In seguito viene scelto il massimo tra questo valore e il valore h() fornito dall'utente (linea 13), in linea con il nuovo nodo di arrivo rispetto la ricerca corrente.

In questo modo, Lazy MT-Adaptive A* aggiorna e corregge i valori h() di tutti i nodi solo nel caso in cui sono richiesti nelle future ricerche (approccio lazy), che è computazionalmente meno costoso rispetto ad aggiornare i valori h() di tutti i nodi espansi dopo ogni ricerca e di correggere i valori h() di tutti i nodi espansi dopo ogni ricerca dove il nodo di arrivo è cambiato (approccio eager).

Useremo di seguito un esempio per mostrare il comportamento di LMAA*.



Figure 2.5: Legenda per la Figura 2.6

La Figura 2.6(a) mostra la prima ricerca di LMTAA* dal nodo corrente dell'agent D2 al nodo corrente del target C4. I nodi espansi sono colorati in grigio. Si noti che nell'immagine è stato introdotto un tie-breaker che favorisce, tra i nodi con lo stesso valore f(), quelli con il maggior valore g(). Dopo la prima ricerca (come mostrato nella Figura2.6(b)), l'agent si muove lungo il percorso trovato finchè non arriva al nodo B1, dove scopre che il nodo B2 è bloccato e che il target si è spostato dal nodo C4 al nodo C3.

Dal momento in cui il nodo di arrivo adesso non è più sul path calcolato in precedenza, l'agent esegue una seconda ricerca per ricalcolare un nuovo percorso dal suo nodo corrente B1 al nuovo nodo di arrivo C3. Si noti che in seguito al cambiamento del nodo di arrivo, l'algoritmo non ha corretto i

2.6. TRAILMAX 25

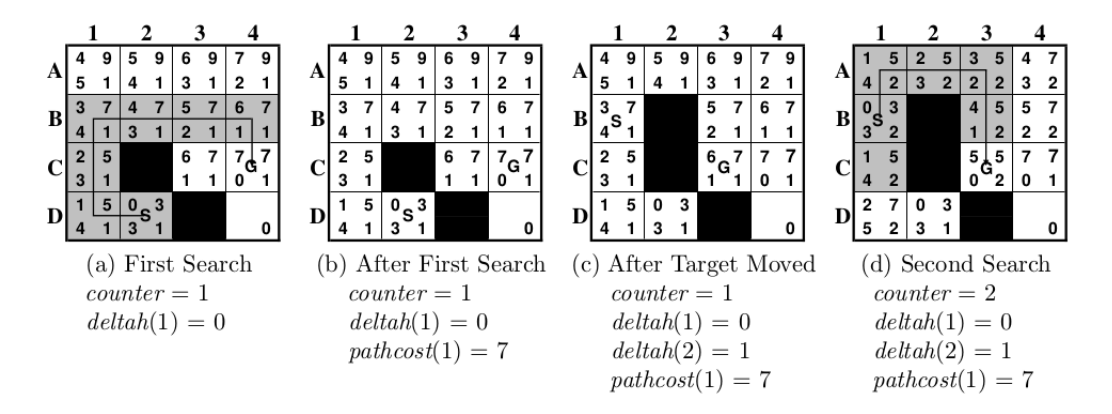


Figure 2.6: Esempio di comportamento di LMTAA*

valori h() di tutti i nodi espansi. Invece calcola soltanto h(C3) (= 1) (linee 69-71), ossia il valore h() del nodo di arrivo della seconda ricerca rispetto al nodo di arrivo della prima ricerca, e in seguito somma h(C3) a deltah(1) (linea 73), risultando in deltah(2) = 1 (Figura 2.6(c)), che sarà usato per correggere i valori h() dei nodi che verranno espansi nelle future ricerche.

La Figura 2.6(d) mostra la seconda ricerca. L'algoritmo a questo punto avrà aggiornato e corretto i valori h() dei nodi espansi solo nel momento in cui sono stati espansi. Ad esempio il nodo D2 non è stato aggiornato perchè non è stato selezionato nella seconda ricerca e pertanto il suo valore h() rimarrà invariato per questa ricerca.

2.6 Trailmax

DA SCRIVERE DA SCRIVERE DA SCRIVERE DA SCRIVERE DA SCRIVERE DA SCRIVERE

Chapter 3

Design ed Implementazione

Il class diagram dell'intera implementazione del progetto è mostrato nella figura 3.1. In questa sezione saranno oltre descritte le classi e i loro dettagli implementativi.

3.1 Game

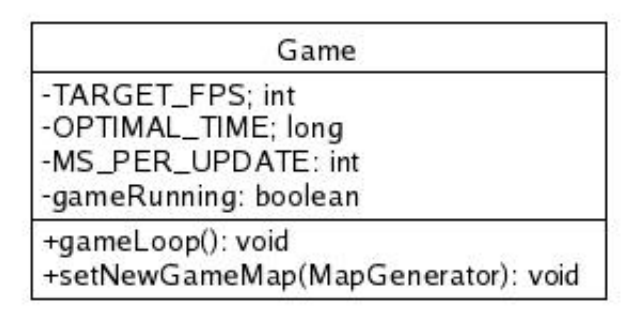


Figure 3.2: Classe Game

La classe *Game* mantiene le informazioni sullo stato del gioco, i riferimenti del giocatore e del relativo *controller*, delle entità instanziate e della mappa corrente. Inoltre implementa il *loop* principale all'interno del quale avviene la logica del gioco e il *rendering* degli elementi in gioco.

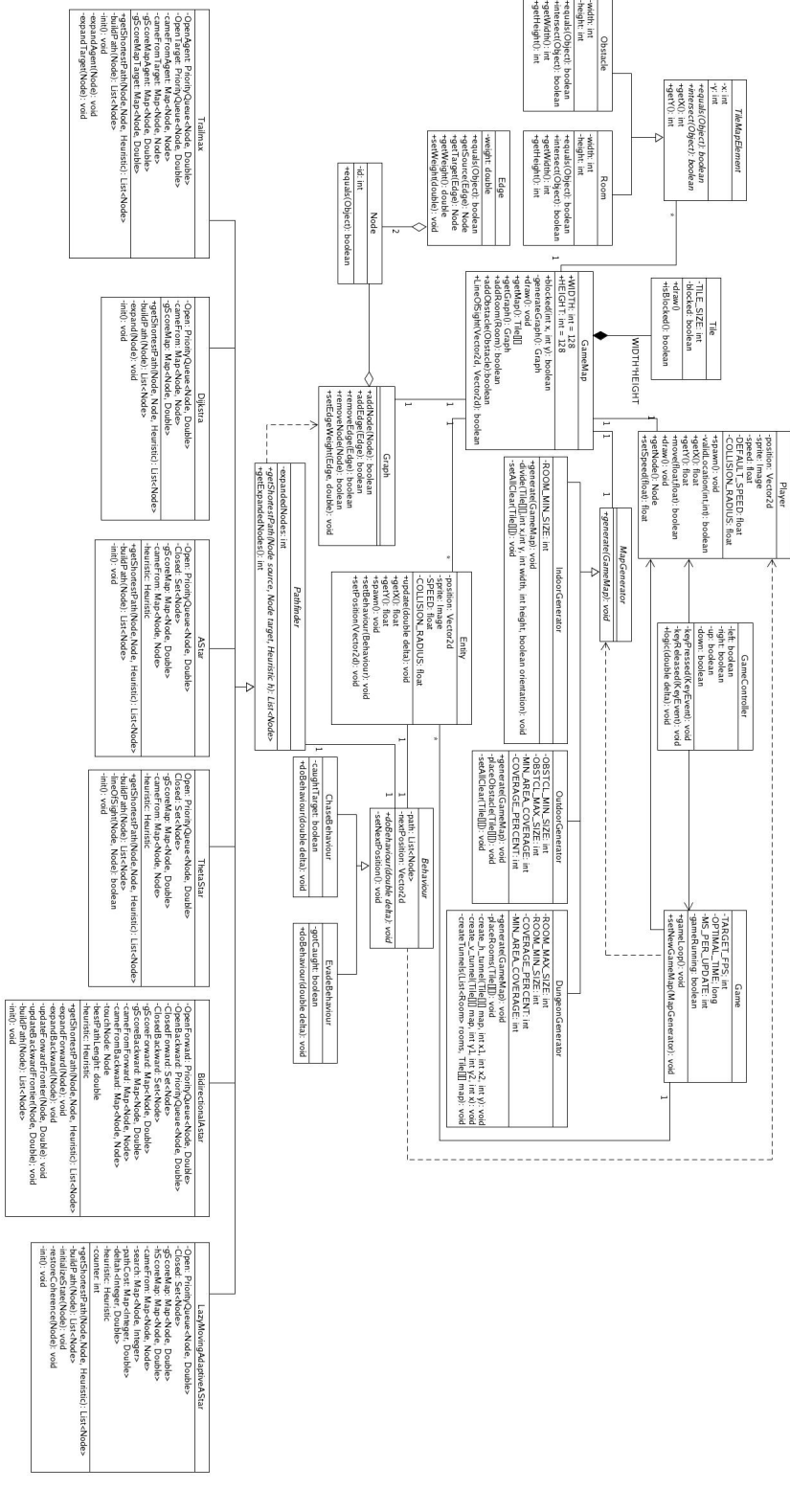


Figure 3.1: Class Diagram

3.2. PLAYER 29

3.2 Player

Player

-position: Vector2d

-sprite: Image -speed: float

-DEFAULT_SPEED: float -COLLISION_RADIUS: float

+spawn(): void

-validLocation(int,int): boolean

+getX(): float +getY(): float

+move(float,float): boolean

+draw(): void +getNode(): Node +setSpeed(float): float

Figure 3.3: Classe Player

La classe *Player* mantiene le informazioni sullo stato del giocatore, la sua posizione sul terreno di gioco, velocità di spostamento e immagine da renderizzare.

3.3 Game Controller

GameController -left: boolean -right: boolean -up: boolean -down: boolean -keyPressed(KeyEvent): void -keyReleased(KeyEvent): void +logic(double delta): void

Figure 3.4: Classe GameController

La classe GameController implementa l'interfaccia KeyListener e gestisce gli input da tastiera, aggiornando in tal modo la posizione del giocatore, del quale mantiene un riferimento, similmente al $design\ pattern\ MVC$.

3.4 Tile

Tile
-TILE_SIZE: int -blocked: boolean
+draw() +isBlocked(): boolear

Figure 3.5: Classe Tile

La classe Tile rappresenta la più piccola unità che compone una mappa di gioco. Questa classe mantiene una variabile di stato che indica se il tile è bloccato e una costante statica che indica la grandezza di ciascun tile.

3.5 GameMap

GameMap +WIDTH: int = 128 +HEIGHT: int = 128 +blocked(int x, int y): boolean -generateGraph(): Graph +draw(): void +getMap(): Tile[[[] +getGraph(): Graph +addRoom(Room): boolean +addObstacle(Obstacle):boolean

Figure 3.6: Classe GameMap

+LineOfSight(Vector2d, Vector2d): boolean

La classe GameMap si occupa di definire la geometria della mappa di gioco, mantenendo un riferimento di un array bidimensionale di oggetti Tile. Mantiene inoltre i riferimenti di eventuali stanze o ostacoli presenti sulla mappa. La geometria della mappa viene definita attraverso un oggetto che estende l'interfaccia MapGenerator, di cui viene mantenuto il riferimento all'interno della classe GameMap, e facendo uso del design pattern Strategy viene scelta la tipologia di mappa desiderata. Si occupa infine di generare il grafo associato a quella mappa basandosi sulla sua geometria.

3.6 TileMapElement

	TileMapElement
-x: int -y: int	
+inter	als(Object): boolean rsect(Object): boolean ((): int '(): int

Figure 3.7: Classe TileMapElement

Classe astratta che definisce un elemento generico sulla mappa di gioco. Gli attributi x e y ne determinano il posizionamento sull'area di gioco.

3.7 Room

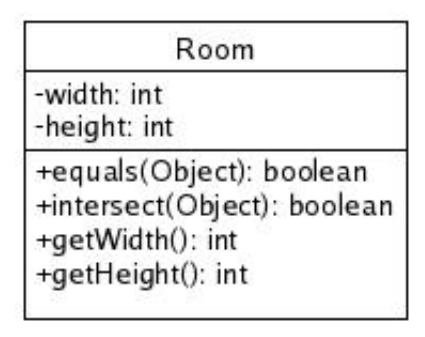


Figure 3.8: Classe Room

La classe *Room* estende la classe TileMapElement di cui sopra, ed è dotata di due attributi aggiuntivi che ne determinano l'altezza e la larghezza. In questo caso gli attributi x e y della superclasse TileMapElement si riconducono al Tile dell'angolo in basso a sinistra del rettangolo che la classe

3.8. OBSTACLE 33

definisce. I Tile che appartengono al rettangolo definito dalla classe Room sono tutti traversabili. La classe è inoltre dotata di un metodo intersect(), il quale restituisce true sse si verifica un overlapping con un altro oggetto Room in ingresso.

3.8 Obstacle

Obstacle		
-width: int -height: int		
+equals(Object): boolean +intersect(Object): boolean +getWidth(): int +getHeight(): int		

Figure 3.9: Classe Obstacle

Similmente alla classe Room, la classe *Obstacle* definisce un rettangolo di Tile ma in questo caso *non* traversabili.

3.9 MapGenerator

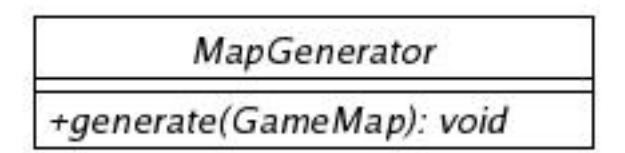


Figure 3.10: Classe MapGenerator

Classe astratta che definisce un generico generatore di mappe.

3.10 IndoorMapGenerator

	IndoorGenerator
-RC	DOM_MIN_SIZE: int
-div	enerate(GameMap): void vide(Tile[][],int x,int y, int width, int height, boolean orientation): void tAllClear(Tile[][): void

Figure 3.11: Classe IndoorMapGenerator

La classe IndoorMapGenerator estende la classe astratta MapGenerator. La costruzione della mappa indoor avviene nel metodo generate(), che fa a sua volta overriding sul metodo astratto della superclasse. L'algoritmo per la generazione di mappe indoor sarà descritto dettagliatamente in una sezione successiva.

${\bf 3.11} \quad Outdoor Map Generator$

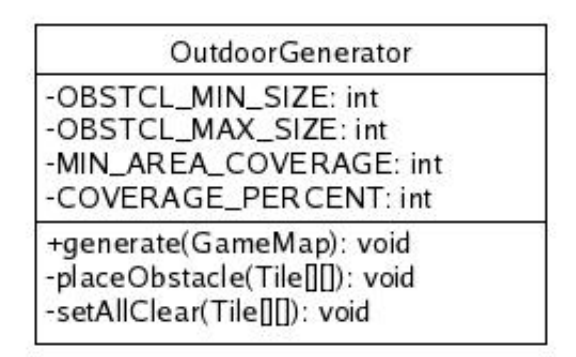


Figure 3.12: Classe OutdoorMapGenerator

La classe OutdoorMapGenerator estende la classe astratta MapGenerator. La costruzione della mappa outdoor avviene nel metodo generate(), che fa a sua volta overriding sul metodo astratto della superclasse. L'algoritmo per la generazione di mappe outdoor sarà descritto dettagliatamente in una sezione successiva.

3.12 DungeonMapGenerator

```
DungeonGenerator

-ROOM_MAX_SIZE: int
-ROOM_MIN_SIZE: int
-COVERAGE_PERCENT: int
-MIN_AREA_COVERAGE: int
+generate(GameMap): void
-placeRooms(Tile[]]: void
-create_h_tunnel(Tile[]] map, int x1, int x2, int y): void
-create_v_tunnel(Tile[]] map, int y1, int y2, int x): void
-createTunnels(List<Room> rooms, Tile[]] map): void
```

Figure 3.13: Classe DungeonMapGenerator

La classe DungeonMapGenerator estende la classe astratta MapGenerator. La costruzione della mappa dungeon avviene nel metodo generate(), che fa a sua volta overriding sul metodo astratto della superclasse. L'algoritmo per la generazione di mappe dungeon sarà descritto dettagliatamente in una sezione successiva.

3.13 Entity

Entity -position: Vector2d -sprite: Image -SPEED: float -COLLISION_RADIUS: float +update(double delta): void +getX(): float +getY(): float +spawn(): void +setBehaviour(Behaviour): void +setPosition(Vector2d): void

Figure 3.14: Classe Entity

La classe *Entity* definisce ogni agent all'interno dell'intero sistema di gioco, rendendola una delle classi più importanti dell'intero sistema. Essa tuttavia rappresenta solamente il *modello* di una entità. Infatti le funzionalità di cervello pensante, e quindi di *controller*, di ciascuna entità sono delegate ad un oggetto che estende la classe astratta *Behaviour* di cui si mantiene il riferimento all'interno della classe in esame. Attraverso il design pattern *Strategy* sulla classe astratta Behaviour è possibile definire molteplici comportamenti per un Entity che esamineremo più dettagliatamente in una sezione successiva. Attraverso il metodo *update*(), che riceve in ingresso la grandezza di un lasso di tempo, viene calcolato lo spostamento di un Entity.

37

3.14 Behaviour

Behaviour -path: List<Node> -nextPosition: Vector2d +doBehaviour(double delta): void -setNextPosition(): void

Figure 3.15: Classe Behaviour

Classe astratta che definisce un comportamento generico per un Entity. Le sue sottoclassi rappresentano il cervello di un Entity e si occupano di deciderne gli spostamenti, fungendo quindi da controller. Il comportamento di un Entity sarà dunque definito in una sua sottoclasse facendo overriding sul metodo doBehaviour(). La classe mantiene inoltre un riferimento ad un oggetto Pathfinder, che potrà variare a seconda del tipo effettivo della classe Behaviour.

3.15 ChaseBehaviour

ChaseBehaviour
-caughtTarget: boolean
+doBehaviour(double delta): void

Figure 3.16: Classe ChaseBehaviour

La classe ChaseBehaviour estende la classe Behaviour e definisce un comportamento di inseguimento di un Entity rispetto un Player oppure un altro Entity. Utilizza di default come pathfinder una istanza di LazyMovingAdaptiveAStar. Mantiene inoltre una flag di stato che indica se l'Entity ha raggiunto l'obiettivo ed in tal caso smette di muovere l'Entity.

3.16 FleeBehaviour

EvadeBehaviour
-gotCaught: boolean
+doBehaviour(double delta): void

Figure 3.17: Classe EvadeBehaviour

La classe FleeBehaviour estende la classe Behaviour e definisce un comportamento di evasione di un Entity rispetto un Player oppure un altro Entity. Utilizza di default come pathfinder una istanza di Trailmax. Mantiene inoltre una flag di stato che indica se l'Entity è stato raggiunto dal giocatore o dall'Entity dal quale si sta scappando. In tal caso smette di muovere l'Entity.

3.17 Pathfinder

Pathfinder

-expandedNodes: int

+getShortestPath(Node source, Node target, Heuristic h): List<Node>
+getExpandedNodes(): int

Figure 3.18: Classe Pathfinder

Classe astratta che definisce un pathfinder generico. Le sue sottoclassi che implementano un algoritmo di pathfinding dovranno fare overriding sul metodo astratto getShortestPath() il quale ritorna una lista di nodi che compongono il percorso trovato.

3.18. DIJKSTRA 39

3.18 Dijkstra

Dijkstra

-Open: PriorityQueue<Node, Double> -cameFrom: Map<Node, Edge>

-gScoreMap: Map<Node, Double>

+getShortestPath(Node, Node, Heuristic): List<Node>

-buildPath(Node): List<Node>

-expand(Node): void

-init(): void

Figure 3.19: Classe Dijkstra

La classe *Dijkstra* estende la classe astratta *Pathfinder* ed implementa una versione dell'omonimo algoritmo di cui ne abbiamo già ampiamente discusso nella sezione 2.1.

3.19 **AStar**

AStar

-Open: PriorityQueue<Node, Double>

-Closed: Set<Node>

-gScoreMap: Map<Node, Double> -cameFrom: Map<Node, Edge>

-heuristic: Heuristic

+getShortestPath(Node, Node, Heuristic): List<Node>

-buildPath(Node): List<Node>

-init(): void

Figure 3.20: Classe AStar

La classe AStar estende la classe astratta Pathfinder ed implementa una versione dell'omonimo algoritmo di cui ne abbiamo già ampiamente discusso nella sezione 2.2

3.20 ThetaStar

ThetaStar

Open: PriorityQueue<Node, Double>

Closed: Set<Node>

-gScoreMap: Map<Node, Double>
-cameFrom: Map<Node, Node>

-heuristic: Heuristic

+getShortestPath(Node, Node, Heuristic): List<Node>

-buildPath(Node): List<Node>
-lineOfSight(Node, Node): boolean

-init(): void

Figure 3.21: Classe ThetaStar

La classe ThetaStar estende la classe astratta Pathfinder ed implementa una versione dell'omonimo algoritmo di cui ne abbiamo già ampiamente discusso nella sezione 2.3

3.21 Bidirectional AStar

BidirectionalAstar

- -OpenForward: PriorityQueue<Node, Double>
- -OpenBackward: PriorityQueue<Node, Double>
- -ClosedForward: Set<Node>
- -ClosedBackward: Set<Node>
- -gScoreForward: Map<Node, Double>
- -gScoreBackward: Map<Node, Double> -cameFromForward: Map<Node, Edge>
- -cameFromBackward: Map<Node, Edge>
- -touchNode: Node
- -bestPathLenght: double
- -heuristic: Heuristic
- +getShortestPath(Node, Node, Heuristic): List<Node>
- -expandForward(Node); void
- -expandBackward(Node): void
- -updateForwardFrontier(Node, Double): void
- -updateBackwardFrontier(Node, Double); void
- -buildPath(Node): List<Node>
- -init(): void

Figure 3.22: Classe Bidirectional AStar

La classe Bidirectional AStar estende la classe astratta Pathfinder ed implementa una versione dell'omonimo algoritmo di cui ne abbiamo già ampiamente discusso nella sezione 2.4

3.22 LazyMovingTargetAdaptiveAStar

LazyMovingTargetAdaptiveAStar

-Open: PriorityQueue<Node, Double>

-Closed: Set<Node>

-gScoreMap: Map<Node, Double>
-hScoreMap: Map<Node, Double>
-cameFrom: Map<Node, Edge>
-search: Map<Node, Integer>
-pathCost: Map<Integer, Double>

-deltah<Integer, Double> -heuristic: Heuristic

-counter: int

+getShortestPath(Node, Node, Heuristic): List<Node>

-buildPath(Node): List<Node>
-initializeState(Node): void
-restoreCoherence(Node): void

-init(): void

Figure~3.23:~Classe~Lazy Moving Target Adaptive A Star

La classe LazyMovingAdaptiveAStar estende la classe astratta Pathfinder ed implementa una versione dell'omonimo algoritmo di cui ne abbiamo già ampiamente discusso nella sezione 2.5

43

3.23 Trailmax

Trailmax -OpenAgent: PriorityQueue<Node, Double> -OpenTarget: PriorityQueue<Node, Double> -cameFromAgent: Map<Node, Edge> -cameFromTarget: Map<Node, Edge> -gScoreMapAgent: Map<Node, Double> -gScoreMapTarget: Map<Node, Double> +getShortestPath(Node,Node, Heuristic): List<Node> -buildPath(Node): List<Node> -init(): void -expandAgent(Node): void -expandTarget(Node): void

Figure 3.24: Classe Trailmax

La classe Trailmax estende la classe astratta Pathfinder ed implementa una versione dell'omonimo algoritmo di cui ne abbiamo già ampiamente discusso nella sezione 2.6

Chapter 4

Applicazioni e Risultati sperimentali

In questo capitolo verranno messi a confronto i diversi algoritmi di pathfinding implementati e verranno descritti gli esperimenti condotti per la valutazione di questi ultimi. Gli esperimenti sono stati condotti su un PC Lenovo ThinkPad T430 con processore Quad-Core Intel(R) Core(TM) i5-3360M CPU @ 2.80GHz e 4GB di memoria disponibili.

4.1 Le Mappe

Al fine dell'esperimento sono state sviluppate tre diverse metodologie di generazione pseudocasuale di mappe basate su griglie connesse in 8 direzioni. Le metodologie di generazione sono descritte nelle prossime sezioni.

4.1.1 Mappe Dungeon

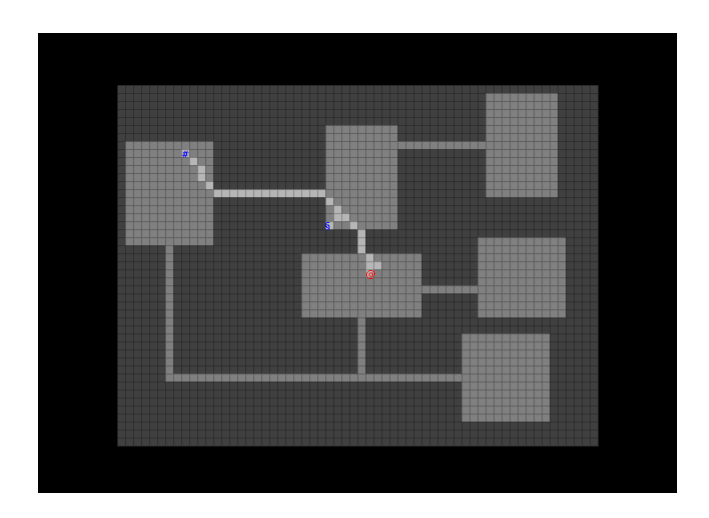


Figure 4.1: mappa Dungeon

Questo tipo di mappa si compone di grandi stanze che consistono in un rettangolo di tile traversabili collegate fra loro da lunghi corridoi. Per la realizzazione di questo tipo di mappa ci si è liberamente ispirati allo stile delle mappe sotterranee tipiche della saga di *Dungeons and Dragons* (vedi figura 4.2).

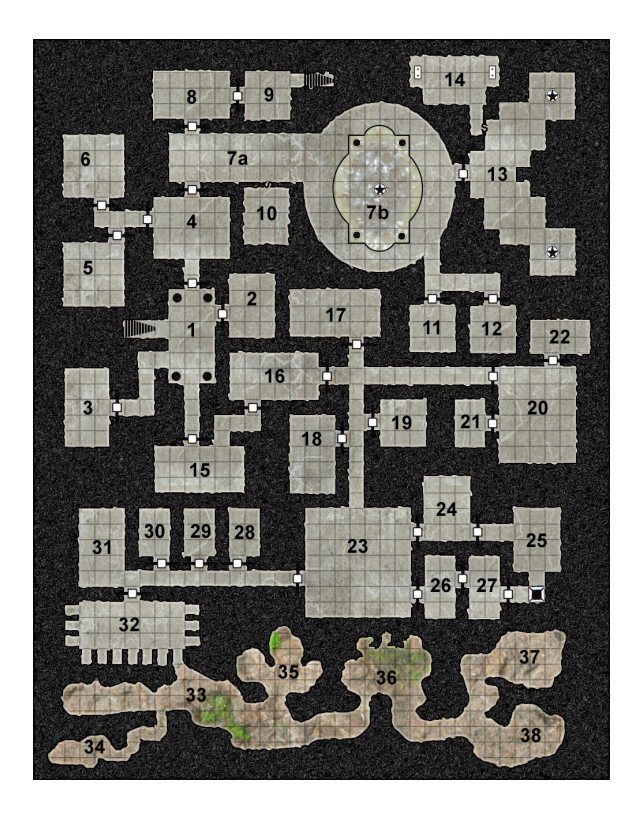


Figure 4.2: Esempio mappa Dungeons and Dragons

L'algoritmo utilizzato per la generazione di questo tipo di mappa prende in ingresso una griglia di interi interamente riempita di 1 con cui si rappresentano dei tile bloccati. In seguito sceglie in modo casuale (ma entro un certo range prestabilito) la posizione e le dimensioni di una stanza da posizionare nella mappa. Tali parametri vengono scelti in modo da non sovrapporsi con quelle già posizionate. Infine, quando la somma delle aree delle stanze posizionate sarà maggiore o uguale a una percentuale prestabilita, l'algoritmo provvedera' a connetterle creando dei tunnel ortogonali da una stanza a un'altra. In particolare, iterativamente ogni stanza verrà connessa con quella successivamente creata mediante un tunnel di locazioni traversabili i cui estremi sono i centri delle stanze di partenza e di arrivo. Nel caso in cui sia l'ascissa che l'ordinata dei due centri sono distinti, un fattore di casualità del 50% determinerà se il tunnel creato sarà prima orizzontale e poi verticale o viceversa. L'algoritmo utilizzato e' il seguente:

```
Algorithm 7: Dungeon map generator
   Data: MAX_ROOM_SIZE: integer, MIN_ROOM_SIZE: integer,
          COVERAGE_PERCENTAGE: integer, rooms: list of Room
          object
   Input: Array bidimensionale di interi con dimensioni WIDTH x
           HEIGHT
   Result: L'array bidimensionale in ingresso viene elaborato in una
            mappa
1 Function main (map)
      while covered_area < COVERAGE_PERCENTAGE do
          /* assegno le dimensioni della stanza e la sua
              posizione randomicamente
          w \leftarrow \mathbf{random}(((ROOM\_MAX\_SIZE - ROOM\_MIN\_SIZE) +
3
           1) + ROOM_MIN_SIZE;
          h \leftarrow \mathbf{random}(((ROOM\_MAX\_SIZE - ROOM\_MIN\_SIZE) +
 4
           1) + ROOM_MIN_SIZE;
          x \leftarrow \mathbf{random}(WIDTH - W - 1) + 1;
5
          y \leftarrow \mathbf{random}(\mathrm{HEIGHT} - \mathrm{H} - 1) + 1;
6
          room \leftarrow \mathbf{new} \operatorname{Room}(w,h,x,y);
7
          noGood \leftarrow \text{false}:
8
          for r \in rooms /* controllo che non ci siano
9
              sovrapposizioni con le stanze gia' presenti
                                                                        */
           do
10
             if room.intersect(r) then
11
                 noGood \leftarrow \text{true};
12
                 break;
13
             end
14
          end
15
          if !noGood /* riempio di zeri la griglia nelle
16
              coordinate corrispondenti alla stanza
                                                                         */
           then
17
              for i = room.X to (room.X + room.W) do
18
                 for j = room.Y to (room.Y + room.H) do
19
                    map_{ij} \leftarrow 0;
\mathbf{20}
                 end
21
              end
22
             rooms.add(room);
23
              covered\_area \leftarrow covered\_area + room.\mathbf{getArea}();
\mathbf{24}
          end
25
      end
\mathbf{26}
27
      createTunnels(map); /* connetti le stanze create
```

4.1. LE MAPPE 49

```
27 Function create Tunnels(map)
      prev \leftarrow \emptyset;
28
      for r \in rooms do
\mathbf{29}
         if r.hasPrev() then
31
             prev \leftarrow r.prev;
             if random(range(0,100)) > 50 /* decido casualmente
32
                 se creare prima un tunnel orizzontale e poi
                 verticale o viceversa
                                                                     */
              then
33
                                              map, prev.getCenterX()
                 createHorizontalTunnel(
                                              r.getCenterX(), prev.getCenterY());
\bf 34
                                           map, prev.getCenterY()
                createVerticalTunnel(
                                           r.getCenterY(), r.getCenterX());
35
             end
36
             else
37
                                           map, prev.getCenterY()
                 createVerticalTunnel(
38
                                           r.getCenterY(), prev.getCenterX());
                                              map, prev.getCenterX()
                createHorizontalTunnel(
                                              r.getCenterX(), r.getCenterY());
39
             end
40
         end
41
      end
42
43 Function createHorizontalTunnel(map, x1, x2, y)
      for i = min(x1, x2) to max(x1, x2) do
44
         map_{i,y} \leftarrow 0;
45
      end
46
47 Function create VerticalTunnel(map, y1, y2, x)
      for j = min(y1, y2) to max(y1, y2) do
48
         map_{x,j} \leftarrow 0;
49
      end
50
```

4.1.2 Mappe Outdoor

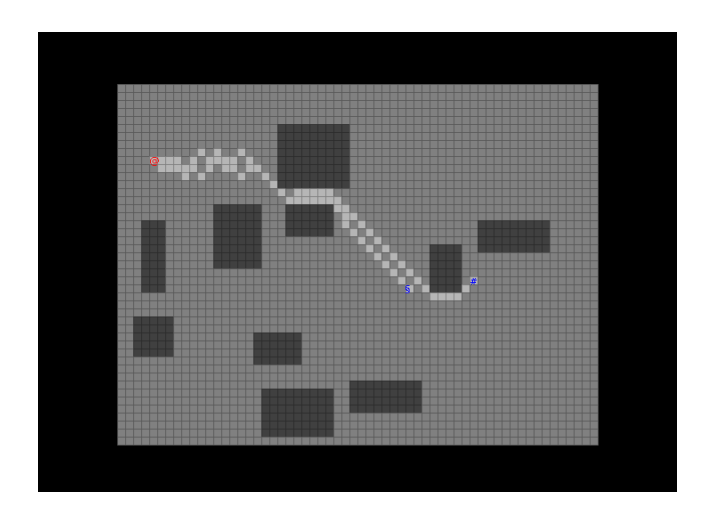


Figure 4.3: mappa Outdoor

Questo tipo di mappa, in maniera speculare al tipo di mappa della sezione precedente, si caratterizza da una griglia completamente riempita da tile traversabili dove vengono posizionati casualmente degli ostacoli rettangolari composti di tile bloccati di dimensioni a loro volta casuali. Come nella tipologia di mappe precedenti, gli ostacoli vengono posizionati in modo da non sovrapporsi, perchè dotati del medesimo metodo intersect(). L'algoritmo utilizzato e' grossomodo speculare a quello di generazione delle mappe di tipo Hallways, fatta eccezione per la creazione dei tunnel. L'algoritmo di generazione terminerà dunque quando una certa percentuale di area di gioco sarà coperta da ostacoli.

4.1. LE MAPPE 51

4.1.3 Mappe Indoor

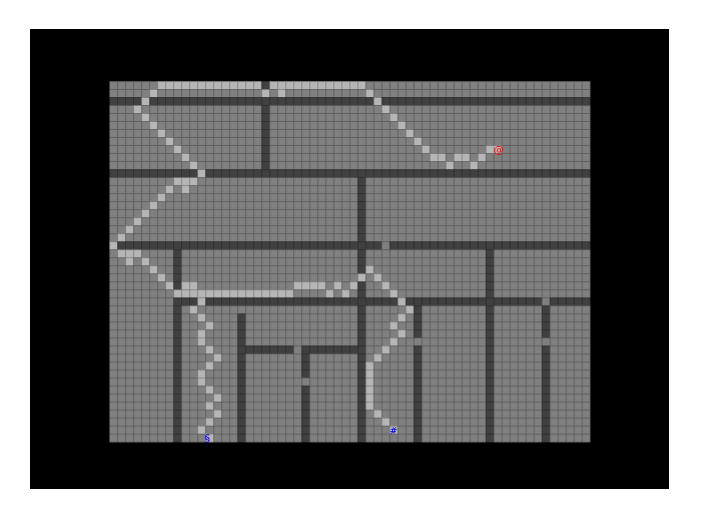


Figure 4.4: mappa Indoor

L'ultimo tipo di mappa realizzato consiste in uno spazio partizionato in diversi sottospazi (o stanze) servendosi di tile non traversabili come muri divisori. Per rendere raggiungibili le stanze fra loro ogni muro divisorio contiene un varco traversabile. L'algoritmo utilizzato divide ricorsivamente una griglia inizialmente totalmente traversabile. A seconda dell'orientamento, esso divide la griglia orizzontalmente o verticalmente disegnando un muro divisore e scegliendo un punto casuale su di esso dove posizionare il passaggio. In seguito dividerà ricorsivamente i due sottospazi partizionati con orientamento opposto, finchè non verra' raggiunto il caso base della ricorsione, ossia quando le stanze avranno dimensioni minori del minimo ammissibile.

Algorithm 8: indoor map generator Data: ROOM_MIN_SIZE: integer Array bidimensionale di interi con dimensioni $WIDTH \times HEIGHT$ di soli zeri; offset di x e y ; larghezza ed altezza della stanza; orientamento della divisione da effettuare Result: L'array bidimensionale in ingresso viene elaborato in una mappa di tipo indoor 1 Function divide (map, x_offset, y_offset, width, height, orientation) if $(width < ROOM_MIN_WIDTH)$ **OR** $(height < ROOM_MIN_HEIGHT)$ then 3 return; end /* divido orizontalmente o verticalmente */ $horizontal \leftarrow orientation == true;$ 5 /* scelgo da dove comincera' il muro */ if horizontal then 6 $wx \leftarrow x_offset;$ 7 $wy \leftarrow y_offset + random(height - 2);$ 8 \mathbf{end} 9 10 else $wx \leftarrow x_offset + random(width - 2);$ 11 $wy \leftarrow y_offset;$ 12 13 /* scelgo un punto lungo il muro da usare come passaggio */ if horizontal then 14 $px \leftarrow wx + random(width);$ **15** $py \leftarrow wy;$ 16 \mathbf{end} **17** else 18 $px \leftarrow wx;$ 19 $py \leftarrow wy + random(height);$ **2**0 \mathbf{end} $\mathbf{21}$ /* scelgo la lunghezza del muro */ if horizontal then **22** $lenght \leftarrow width;$ 23 end 24 else 25 $lenght \leftarrow height;$ **26** end 27

4.1. LE MAPPE 53

```
28
        /* disegno il muro
                                                                                  */
       if horizontal then
29
           dx \leftarrow 1;
30
           dy \leftarrow 0;
31
32
        end
        else
33
           dx \leftarrow 0:
34
           dy \leftarrow 1;
35
        end
36
       for i = 0 to lenght do
37
38
           if wx \neq px AND wy \neq py then
             map_{wx,wy} \leftarrow 1;
39
           end
40
           wx \leftarrow wx + dx;
41
           wy \leftarrow wy + dy;
42
        end
43
44
       nx \leftarrow x\_offset;
       ny \leftarrow y\_offset;
45
        /* se ho diviso orizzontalmente, dividi al di sopra del
            muro e poi al di sotto. Altrimenti prima a sinistra
            e poi a destra
       if horizontal then
46
           new\_width \leftarrow width;
47
           new\_height \leftarrow wy - y\_offset + 1;
48
       end
49
        else
50
            new\_width \leftarrow wx - x\_offset + 1;
51
           new\_height \leftarrow height;
52
53
        divide(map, nx, ny, new\_width, new\_height, w < h);
54
       if horizontal then
           nx \leftarrow x\_offset;
56
           ny \leftarrow wy + 1;
57
           new\_width \leftarrow width;
58
           new\_height \leftarrow y\_offset + height - wy - 1;
59
        end
60
        else
61
           nx \leftarrow wx + 1;
62
           ny \leftarrow y\_offset;
63
           new\_width \leftarrow x\_offset + width - wx - 1;
64
           new\_height \leftarrow height;
65
        end
66
67
        divide(map, nx, ny, new\_width, new\_height, w < h);
68 end
```

4.2 Moving Target Test

Il test è stato condotto su 80 mappe casuali per ogni tipologia descritta. Su ogni singola mappa sono stati scelti casualmente 30 coppie di punti come nodi di partenza e nodi di arrivo rispettivamente raggiungibili tra loro. La tipologia di test adottata è di tipo moving target, descritta qui di seguito. Nella cella di partenza viene posizionato un agent inseguitore, il quale calcola un percorso verso l'agent posizionato nella cella di arrivo e si muove lungo quel percorso. A sua volta l'agent-target posizionato nella cella di arrivo calcola una via di fuga rispetto l'agent inseguitore con l'algoritmo Trailmax e si muove lungo tale percorso di evasione ma con una frequenza minore dell'agent inseguitore per garantire che l'agent-target venga raggiunto. In tal modo l'agent inseguitore è costretto a calcolare periodicamente un nuovo percorso ogni volta che l'agent-target si sposta lungo il suo percorso di fuga. Per gli algoritmi euristici è stata usata la octile distance come funzione euristica giacchè le mappe sul quale è stato condotto il test sono connesse in 8 direzioni. I risultati raccolti sono mostrati nella tabella 4.1. Nelle parentesi quadre è riportata la deviazione standard della media del dato a cui si riferisce per dimostrare il significato statistico dei risultati.

Table 4.1: Risultati Sperimentali

			I .			
	M	appe Ind	door [128 x 128]			
	(a)	(b)	(c)	(d)	(e)	
Dijkstra	52705	252779	79687387.0 [471724.54]	250337.0 [1606.63]	4.74	
A*	50942	252021	29664860.0 [200887.14]	181561.0 [1477.88]	3.56	
${f Bidirectional A^{\hat *}}$	53682	257290	40574839.0 [280338.7]	242255.0 [1984.92]	4.51	
LazyMovingTargetAdaptiveA*	52842	252486	22442520.0 [138704.53]	102767.0 [1095.78]	1.94	
Mappe Outdoor [128 x 128]						
Dijkstra	3690	158622	14210668.0 [21984.60]	96055.0 [1068.08]	26.03	
A*	3029	158044	1416871.0 [4356.03]	66850.0 [1015.22]	22.06	
${f Bidirectional A^{\hat *}}$	2899	159232	1565886.0 [4763.25]	43624.0 [874.76]	15.04	
LazyMovingTargetAdaptiveA*	3005	157964	1405686.0 [4183.93]	19893.0 [563.78]	6.61	
Mappe Dungeon [128 x 128]						
Dijkstra	45422	197053	52522222.0 [233228.94]	180432.0 [1415.26]	3.97	
A*	37921	192708	6176276.0 [45504.01]	60681.0 [908.87]	1.60	
${f Bidirectional A^{\hat *}}$	40349	196231	7884858.0 [61489.88]	78866.0 [1011.01]	1.95	
Lazy Moving Target Adaptive A*	39883	193277	5953568.0 [36799.00]	38881.0 [722.78]	0.97	

⁽a) = numero di ricerche finchè il target non è raggiunto;

⁽b) = numero di mosse finchè il target non è raggiunto;

 $⁽c) = totale \ delle \ celle \ espanse \ finch\`e \ il \ target \ non \ \`e \ raggiunto \ [deviazione \ standard \ della \ media];$

 $⁽d) = tempo \ totale \ di \ ricerca \ finchè \ il \ target \ non \ \`e \ raggiunto \ (in \ millisecondi) \ [deviazione \ standard \ della \ media];$

⁽e) = tempo medio di ricerca (in millisecondi)